

撰南大学工学部 正員 平城弘一  
 大阪工業大学 正員 栗田章光  
 大阪工業大学 正員 赤尾親助

## 1. まえがき

近年、鋼とコンクリートの各種合成構造(SRC構造を含む)は、耐火、耐震、耐腐蝕、騒音、維持補修面など、数多くの立地条件に有利な構造として認められ、都市構造物、海洋構造物、大型構造物の基礎など、とくに特殊構造物への応用が注目されている。

本研究の目的は、各種合成構造において、重要な課題である合成機構を解明するための基礎データを得ることにある。各種合成構造の取付け止めとしてストップを用いた場合、従来の合成軸のように、常にストップが上フランジ上面に取付けられるとは限らず、ストップの取付位置およびその方向は種々存在すると考えられる。また、せん断方向も一方向を除くことは限らない。したがって、各種合成構造に応用するストップの耐荷力を決定する際は、コンクリートの打設方向、すなわちストップ周辺のコンクリートの性状とせん断方向を明確にしておく必要がある。

本文は、押抜供試体によりストップの載荷方向が異なり2種の部分片振試験と完全両振試験の結果より、コンクリートの打設方向と載荷方向がストップの疲労耐荷挙動に及ぼす影響を明らかにするものである。一方、ストップの内張疲労試験については、合成軸を対象として、部分内張を実施したJ.W.Fisherらの報告がある<sup>(1)</sup>のみで、本研究のように完全両振による試験は、まだ実施されていないようである。

## 2. 供試体の種類と試験方法

本研究では、代表的なコンクリートの打設方向を4種類選び、図1に示すように方法で供試体を製作した。コンクリートは、レミコンを用い、品質・粒度を均一にするために、図1に示すようにA, BタイプのH形鋼腹部を切断し、一度に打設した。供試体数は3つのテストにおける4タイプとも4体ずつ総計48体である。

ストップ素材は平均降伏点強度は27.5 kg/mm<sup>2</sup>のものを用いた。使用したストップの寸法は直角が13mm<sup>2</sup>、長さが65mm ( $H/d = 5.0$ )である。ストップはすべて同一条件にてH形鋼両フランジに4本溶接した。

コンクリートの配合は粗骨材最大寸法15mm、W/C=51%のものを用い、平均圧縮強度は351kg/cm<sup>2</sup>であった。

試験は±10°油圧サーボ型疲労試

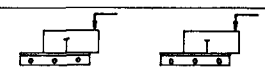
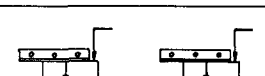
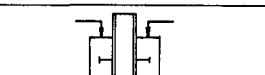
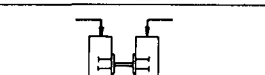
TYPE	PLACING DIRECTION OF CONCRETE
A	
B	
C	
D	

図1. コンクリートの打設方向

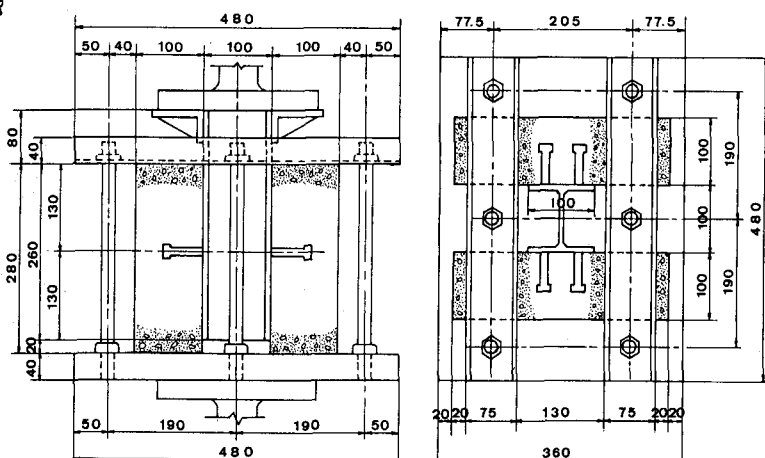


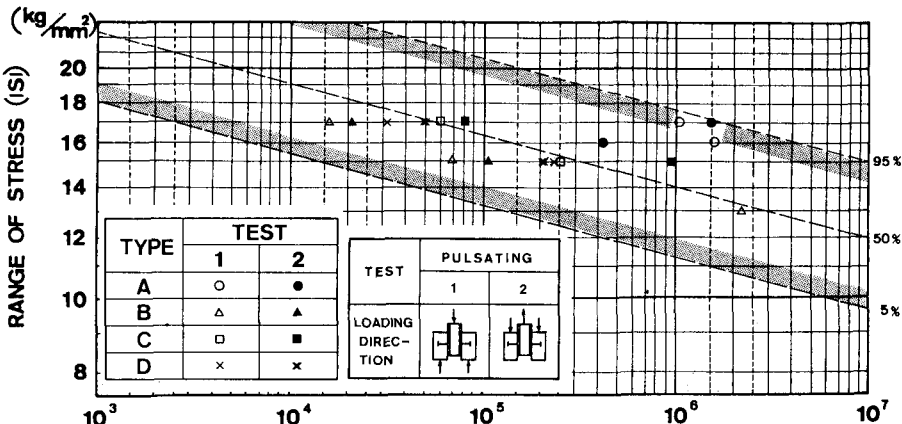
図2. 供試体寸法と試験概要

験機を用いて行なった。  
供試体寸法と試験概要  
を図2に示す。部分片  
振試験の荷重設定は下  
限荷重0.5tを一定と  
し、上限荷重を変えて、  
スラットの受け3せん  
断応力幅度につけ3種々  
の応力範囲を与えた。  
載荷速度は5Hzを基準  
とした。

スラットの疲労破壊  
を予知するため、非接  
触形変位計をコンクリ  
ートヒヤ形鋼の相対す  
れを連続して計測した。

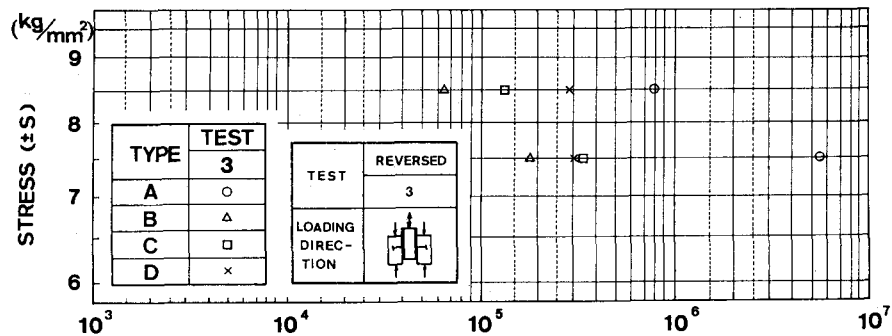
### 3. 試験結果および 考察

載荷方向の異方性部  
分片振試験に対する破  
壊までの回数と応力振  
幅の関係を図3に示す  
(載荷方向は図3.中に  
記してある)。これら



NUMBER OF CYCLES TO FAILURE (N)

図3. 載荷方向の異方性部分片振試験に対する破壊までの回数と応力振幅の関係



NUMBER OF CYCLES TO FAILURE (N)

図4. 完全両振試験に対する破壊までの回数と応力の関係

より明らかのように、Bタイプの疲労寿命は、各応力振幅レベルにおいて小さいことがわかる。この原因は、スラット基部へのコンクリートの充てんの良否による影響である。また、載荷方向による違いは各タイプとも存在するが、その大きさはわずかである。図3.には、各回のデータと直接比較するため、スラットの疲労寿命がカイル分布するものとして求めた ( $H/d = 2.11 \sim 5.26$  ( $d = \phi 19\text{mm}$ 一定),  $\sigma_{st} = 313 \sim 460\text{kg/cm}^2$  の範囲で<sup>\*2)</sup> 4タイプを含め供試体総数100体に基づいて) 破壊確率5%, 50%そして95%の範囲を示してある。その結果、今回のデータは、バラツキが大きいものの破壊確率5%~95%以内に入っている。

完全両振試験に対する破壊までの回数と応力の関係を図4.に示す(載荷方向は図4.中に記してある)。なお、縦軸は応力振幅の半分の応力( $\pm S$ )をとった。完全両振試験の応力振幅は、すべて部分片振で用いた応力振幅と等しくあった。これらより明らかのように、同一応力振幅において、疲労寿命はAタイプを除いて完全両振試験結果の方が部分片振試験結果より大きい。Bタイプの疲労寿命が小さい現象は、完全両振試験においても見られた。非接觸形変位計による相対ずれの連続計測は、スラットの疲労寿命の予知に有用である。すなわち、各タイプとも相対ずれが0.25~0.5mm達したのち破壊に至ると考えよい。

まだ完了していない疲労試験結果については、講演当日に追加して申し述べたい。

[謝辞] 本研究に際し、日本スラットウェーリング(株)、タイマー(株)および大阪理工大学と関西大学の両学部卒研究生に協力を得たことを記し、謝意を表す。参考文献<sup>\*1)</sup> J.W. Fisher et al.: "Fatigue Strength of Shear Connectors," Highway Research Record, No.147, 1966.  
<sup>\*2)</sup> 平城、栗田、赤尾:「SRC構造に用いられるスラットの疲労強度(筋)」、土木学会全国大会, I-199, 1981.